

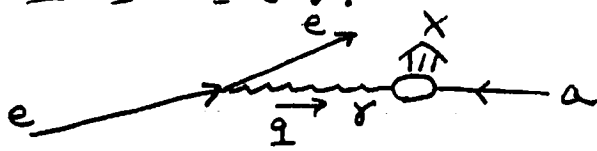
# QCD for Collider Physics

239  
2005. 9. 9

前回、「 $e$  中の  $\gamma$  の分布」を QED の tree 近似で求めましたか。

結果 (688) ~ (690) は次の様に整理できます。

$$(691) \quad d\sigma(ea \rightarrow eX)$$



$$= \left( \frac{dD_{\gamma/e}}{d|q^2|} \right) d|q^2| dx d\hat{\sigma} (\gamma a \rightarrow X; \hat{s} = sx)$$

$$= \frac{\alpha}{2\pi} \left\{ \frac{1+(1-x)^2}{x} \frac{1}{|q^2|} - \frac{2(1-x)}{x} \delta(|q^2|) \right\} d|q^2| dx d\hat{\sigma}$$

$$= \frac{\alpha}{2\pi} \left\{ \frac{1+(1-x)^2}{x} \ln \frac{Q^2}{|q^2|_{\min}} - \frac{2(1-x)}{x} \right\} dx d\hat{\sigma} (\hat{s} = sx)$$

$$= D_{\gamma/e}(x, Q^2) dx d\hat{\sigma} (\hat{s} = sx)$$

ここで

$$(692) \quad Q^2 = d\hat{\sigma} (\gamma^* a \rightarrow X; \hat{s} = sx) \in d\hat{\sigma} (\gamma a \rightarrow X; \hat{s} = sx)$$

と近似して良・スケールの上限 ( $|q^2| < Q^2$ ) で

$\gamma a \rightarrow X$  の  $p_T^2$  のスケール  $Q^2 \sim p_T^2$

$$|q^2|_{\min} = \frac{x^2}{1-x} m_e^2 \quad \dots \text{kinematical boundary}$$

$$\delta(|q^2|) = \frac{|q^2|_{\min}}{|q^2|^2} \quad \dots \text{積分が } m_e \rightarrow 0 \text{ で有限の部分}$$

$$\begin{cases} \text{ヘルツォークによる項} \dots - \frac{1+(1-x)^2}{x} \\ \text{ヘルツォーク, フィルコフスキーによる項} \dots x \end{cases}$$

$x = 1 - t_{\gamma^*} = 1 - t$

$$(693) \quad \hat{P}_{\gamma/e}(x) = \frac{1+(1-x)^2}{x}$$

を  $e \rightarrow \gamma$  の分歧関数 (splitting function) と呼んでます。

ここで「 $e$ 中の $e$ の分布」を

$$(694) D_{e/e}(x, Q^2) = \delta(1-x)$$

とすると、(691) の  $D_{\gamma/e}(x, Q^2)$  の定義は?

$$\begin{aligned} (695) \frac{d}{d \ln Q^2} D_{\gamma/e}(x, Q^2) &= \frac{\alpha}{2\pi} \hat{P}_{\gamma/e}(x) \\ &= \int_0^1 dx' \int_0^1 dz \frac{\alpha}{2\pi} \hat{P}_{\gamma/e}(z) D_{e/e}(x', Q^2) \delta(x - x' z) \\ &= \int_x^1 \frac{dz}{z} \frac{\alpha}{2\pi} \hat{P}_{\gamma/e}(z) D_{e/e}\left(\frac{x}{z}, Q^2\right) \end{aligned}$$

ここで重要なことは、分布関数  $D_{\gamma/e}(x, Q^2)$  は電子のスケール、 $m_e$ 、 $\alpha$  に依存するけれど、その  $Q^2$  依存性は  $m_e$  に依存しないことです。

一般に、

$$(696) \begin{cases} m^2 \cdots \text{小さな mass スケール} = \text{長距離物理のスケール } (m_e, \Lambda_{QCD}) \\ Q^2 \cdots \text{大きな energy スケール} = \text{短距離物理のスケール } (p_T, \mu_F) \end{cases}$$

に共に依存する量 (断面積など) が

$$(697) d\sigma(Q^2, m^2) = d\hat{\sigma}(Q^2, \mu_F^2) \otimes f(\mu_F^2, m^2)$$

$$\text{の様に、} \begin{cases} m^2 \text{に依存しない部分} = d\hat{\sigma}(Q^2, \mu_F^2) = \text{短距離物理} \\ m^2 \text{に依存する部分} = f(\mu_F^2, m^2) = \text{長距離物理} \end{cases}$$

分離することを因子化 (factorization) と呼んでます。

ここで、 $\mu_F^2$  は短距離部分と長距離部分を分離する任意のスケールです。因子化が存在するに、(697)式で、左辺は  $\mu_F^2$  によりませんから。

$$(698) \quad 0 = \frac{d}{d \ln \mu_F^2} d\sigma(Q^2, m^2)$$

$$= \left[ \frac{d}{d \ln \mu_F^2} d\hat{\sigma}(Q^2, \mu_F^2) \right] \otimes f(\mu_F^2, m^2) + d\hat{\sigma}(Q^2, \mu_F^2) \otimes \left[ \frac{d}{d \ln \mu_F^2} f(\mu_F^2, m^2) \right]$$

が成立します。これは因式的に

$$(699) \quad \frac{d}{d \ln \mu_F^2} \ln f(\mu_F^2, m^2) = - \frac{d}{d \ln \mu_F^2} \cancel{d\hat{\sigma}(Q^2, \mu_F^2)} \\ = P(\mu_F^2)$$

先々の最初の例では、 $f(\mu_F^2, m^2)$  が「その他の分存関数」でした。

$\mu_F^2 = Q^2$  となると「仮想光子の近似」が良くなさうでどうなりましたか?

exact な断面積は  $\mu_F^2$  に依りません。P が splitting 関数ですか? 因子化のため、P は  $m^2$  にも  $Q^2$  にもよりません。 $\mu_F^2$  によることになります。QED の例では  $\mu_F$  依存性が見えませんが、

QCD の例では、 $\alpha_s(\mu_F)$  の  $\mu_F$  依存性として顕在化します。

ここで「因子化が存在する場合、断面積は形式的に因子化のスケール  $\mu_F$  に依存しないが、低次の近似が良いのは  $\mu_F^2 \sim Q^2$  の場合だ」と

2005. 9. 7

貰えておいでください。

因子化(697)と、因子化スケール $\mu_R$ への非依存性の式(699)は、  
場の理論の「くり込み」と、物理量のくり込みスケールへの  
非依存性を表すくり込み群方程式(Renormalization Group Eq.)  
の関係と良く似ています。くり込み理論では、

$$(700) \quad d\sigma(Q, g_B^2)_B = d\sigma(Q, g_{R(\mu)}^2, \mu)_R$$

Bare to 理論 くり込まれた理論で計算された  
断面積  
 " 短距離の「真の」理論  
 例 { GUT ( $g_{1B}^2 = g_{2B}^2 = g_{3B}^2$ ) } ⇒ 全て同じ対称性(ユニタリ性)  
 弦理論の有効理論  
 " 正則化された理論  
 例 { Lattice QCD } をもつ  
 D=4-2ε の連續QCD ↓ 普遍性(universality)

「くり込まれた理論の予言は、Bare 理論の詳細によるな」

ここで スケール $\mu$ でくり込まれた理論は  $\mu \sim Q$  のスケールの物理を  
記述するときに、摂動論による近似が良い。例えば GUTの場合、

$$(701) \quad g_{1B}^2 = g_{2B}^2 = g_{3B}^2 \Rightarrow g_{1R}^2(\mu) \ll g_{2R}^2(\mu) \ll g_{3R}^2(\mu) @ \mu \ll M_{\text{GUT}}$$

となり、例えば  $Q \approx 100 \text{ GeV}$  の物理を計算する場合、 $\mu \approx Q$  で  
くり込まれた理論でなければ「良い近似」は得られない。

にもかかわらず" 形式的に、観測量 (5 行列要素、表面積等) は  
くり込みスケール  $\mu$  に依存しない。

$$(701) \quad 0 = \mu \frac{d}{d\mu} \Big|_B d\sigma(Q, g_R^2)_{\bar{B}} \\ = \mu \frac{d}{d\mu} \Big|_B d\sigma(Q, g_R^2(\mu), \mu)_R \\ = \left[ \mu \frac{\partial}{\partial \mu} + \mu \frac{d}{d\mu} \Big|_B g_R^2(\mu) \frac{\partial}{\partial g_R^2(\mu)} \right] d\sigma(Q, g_R^2(\mu), \mu)_R \\ \beta(g_R^2(\mu))$$

ここで 因子化との関係を次の様にとおえます。

$$(702) \quad \left\{ \begin{array}{l} f(\mu_H^2, m^2) \cdots \left\{ \begin{array}{l} \text{分有間数, フルト間数等の値は長距離の} \\ \text{物理に依存して決まるけれど、その } \mu_H^2 \text{ 依存性は} \\ \text{ } M_H \text{ のスケールの運動方程で記述される。} \\ \text{GL-AP-Eq.} \end{array} \right. \\ g_R^2(\mu) \cdots \left\{ \begin{array}{l} \text{くり込まれた結合定数の値は短距離の物理} \\ \text{(例えば GUT, string 等) に依存して決まるけれど、} \\ \text{その } \mu \text{ 依存性は } \mu \text{ のスケールの運動方程で記述される。} \\ \text{R.G.E.} \end{array} \right. \end{array} \right.$$

せっかくで作ったこの  $\text{QCD}$  の  $\beta$  関数と running coupling constant を  
「計算抜き」紹介します。

$\beta$  関数と  $g_R^2(\mu)$  は「 $\mu$  及び  $n_f$ 」に依存するので、 $\overline{MS}$  を使います。

$$(703) \quad \left\{ \begin{array}{l} \alpha(\mu) = \frac{\alpha_s(\mu)}{\pi} \overline{MS} \\ \beta_{\overline{MS}} = \mu^2 \frac{d}{d\mu^2} \Big|_B \frac{\alpha_s(\mu) \overline{MS}}{\pi} = - (b_0 \alpha^2 + b_1 \alpha^3 + b_2 \alpha^4 + \dots) \\ b_0 = \frac{11}{12} C_A - \frac{1}{3} T_F n_f = \frac{33 - 2n_f}{12} \\ b_1 = \frac{17}{24} C_A^2 - \frac{5}{12} C_A T_F n_f - \frac{1}{4} C_F T_F n_f = \frac{153 - 19n_f}{24} \end{array} \right.$$

Running coupling constant 1+

$$(704) \quad \frac{d}{d \ln \mu^2} \alpha(\mu) = - (b_0 \alpha^2 + b_1 \alpha^3 + \dots)$$

$$\begin{aligned} (704)' \quad & \int_{\alpha(\mu)}^{\alpha(Q)} \frac{d\alpha}{\alpha^2 (1 + \frac{b_1}{b_0} \alpha + \dots)} = -b_0 \int_{\mu}^Q d \ln \mu^2 = -b_0 \ln \frac{Q^2}{\mu^2} \\ & = \int_{\alpha(\mu)}^{\alpha(Q)} d\alpha \left\{ \frac{1}{\alpha^2} - \frac{b_1}{b_0} \frac{1}{\alpha} + \left( \frac{b_1}{b_0} \right)^2 \frac{1}{1 + \frac{b_1}{b_0} \alpha} \right\} \\ & = \left[ -\frac{1}{\alpha} - \frac{b_1}{b_0} \ln \alpha + \frac{b_1}{b_0} \ln \left( 1 + \frac{b_1}{b_0} \alpha \right) \right]_{\alpha(\mu)}^{\alpha(Q)} \\ & = \left[ -\frac{1}{\alpha} + \frac{b_1}{b_0} \ln \left( \frac{1}{\alpha} + \frac{b_1}{b_0} \right) \right]_{\alpha(\mu)}^{\alpha(Q)} \end{aligned}$$

$$(704)'' \quad \left\{ \begin{array}{l} \frac{1}{\alpha(Q)} - \frac{b_1}{b_0} \ln \left( \frac{1}{\alpha(Q)} + \frac{b_1}{b_0} \right) = b_0 \ln \frac{Q^2}{\Lambda^2} \quad \cdots \alpha(Q) の Q 依存性 \\ \frac{1}{\alpha(\mu)} - \frac{b_1}{b_0} \ln \left( \frac{1}{\alpha(\mu)} + \frac{b_1}{b_0} \right) = b_0 \ln \frac{\mu^2}{\Lambda^2} \quad \cdots \Lambda の 定義 \end{array} \right.$$

(704)'' は 違次解 <ニヒル> です。

$$\begin{aligned}
 (705) \quad a(Q) &= \frac{1}{b_0 \ln \frac{Q^2}{\Lambda^2}} \frac{1}{1 + \frac{b_1}{b_0} a(Q) \ln \left( \frac{1}{a(Q)} + \frac{b_1}{b_0} \right)} \\
 &= \frac{1}{b_0 \ln \frac{Q^2}{\Lambda^2}} \left[ 1 - \frac{b_1}{b_0} \frac{1}{b_0 \ln \frac{Q^2}{\Lambda^2}} \ln \left( b_0 \ln \frac{Q^2}{\Lambda^2} + \frac{b_1}{b_0} \right) + \dots \right] \\
 &= \frac{1}{b_0 \ln \frac{Q^2}{\Lambda^2}} \left[ 1 - \frac{b_1}{b_0} \frac{1}{b_0 \ln \frac{Q^2}{\Lambda^2}} \ln \left( b_0 \ln \frac{Q^2}{\Lambda^2} \right) \left( 1 + \frac{b_1}{b_0} \frac{1}{b_0 \ln \frac{Q^2}{\Lambda^2}} \right) + \dots \right] \\
 (705)' \quad &= \frac{1}{b_0 \ln \frac{Q^2}{\Lambda^2}} - \frac{b_1}{b_0^2} \frac{\ln(b_0 \ln \frac{Q^2}{\Lambda^2})}{(b_0 \ln \frac{Q^2}{\Lambda^2})^2} + O\left(\frac{b_1^2 (b_0 \ln \frac{Q^2}{\Lambda^2})}{(b_0 \ln \frac{Q^2}{\Lambda^2})^3}\right)
 \end{aligned}$$

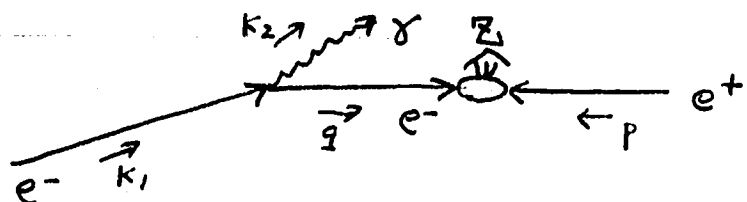
(705)' の 第二項で truncation を NLO と (2) と比較してみる。  
 NLO の (1) の 方程式  $[ (704) \text{ で } b, a^3 \text{ まで} ]$  の 解とでは誤差が  
 大きい。  $a^3 \ln^2(\frac{1}{a})$  を無視するのである。 (705) の第一式を 違次的  
 に解けば、高次の項を足していくことが出来る。私はいつも  
 (と言っても 25 年位前のことですけやう)  $a(Q)$  の数値解を  
 NLO の  $\overline{\text{MS}}$  総合といつたが、(705)' の truncation の誤差が大きいため。  
 $\Lambda = \Lambda_{\overline{\text{MS}}}$  の 数値に有意な差が現れました。他の方の結果と  
 比較するためには、結局、(705)' の表式を使わざるを得ませんでした。  
 NNLO ( $\beta_{\overline{\text{MS}}} = -b_0 a^2 - b_1 a^3 - b_2 a^4$ ) にすると、数値的誤差は縮まります。  
 $a^n (\ln^{n-1} \frac{1}{a})$  の極端な大きな項を無視するのは良くないという論文を書きましたが  
 無視されました。 [KH, PLB 118, 141 (1982)].

さて、QEDにもでります。私が QED を因子化の例として使うのは、

QEDでは  $m_e$  のスケールの物理も標準論で取り扱えるため、分布関数の値をそのままで標準論で計算できることです。

今度は  $D_{e/e}(x, Q^2)$  (694) 式の  $O(\alpha)$  項をとります。13.1.2

$$(706) d\sigma(e^- e^+ \rightarrow \gamma Z) \approx D_{e/e}(x, Q^2 = m_Z^2) dx d\hat{\sigma}(e^- e^+ \rightarrow Z; m_Z^2 = s x)$$



$$(707) M \sim \bar{v}(p, \bar{\lambda}) \not{e}_Z^* (g_V^{Zee} - g_A^{Zee}) \frac{q + m_e}{q^2 - m_e^2} \not{e}_\gamma^*(-e) u(k_1, \lambda)$$

$$\sim \bar{v}(p, \bar{\lambda}) \not{e}_Z^* (g_V - g_A \not{v}_S) \frac{\not{q} \cdot u(q, \lambda) \bar{u}(q, \lambda')}{q^2 - m_e^2} \not{e}_\gamma^*(-e) u(k, \lambda)$$

$$\sim \bar{v}(p, \bar{\lambda} = -\lambda) \not{e}_Z^* (g_V - g_A \not{v}_S) u(q, \lambda) \frac{1}{q^2 - m_e^2} \bar{u}(q, \lambda) \not{e}_\gamma^*(-e) u(k, \lambda)$$

$$M(e^- e^+ \rightarrow Z) \quad M(e^- \rightarrow \gamma e^-)$$

ここで伝播子は  $e^-$  は virtual ( $|q^2| > m_e^2$ ) で  $\not{q}^2 < 0$ 、 on-shell ( $q^2 = m_e^2$ )

の近似（仮想実電子の近似）が  $|q^2| < Q^2 \sim m_Z^2$  まで 良い近似となります。

kinematics が

$$(708) \quad q^2 - m_e^2 = (k_1 - k_2)^2 - m_e^2$$

$$= -2k_1 k_2$$

$$\left\{ \begin{array}{l} k_1^\mu = \frac{\sqrt{s}}{2}(1, 0, 0, \beta) \\ k_2^\mu = \frac{\sqrt{s}}{2}(1-x)(1, \sin\theta, 0, \cos\theta) \end{array} \right.$$

$$= -\frac{s}{2}(1-x)(1-\beta \cos\theta)$$

$$(708)' \quad |q^2 - m_e^2|_{\min} = \frac{s}{2}(1-x)(1-\beta) \approx \frac{s}{2}(1-x)\frac{1-\beta^2}{1+\beta} \approx (1-x)m_e^2$$

$$(709) \quad \frac{dD_{e/e}}{d|q^2|} = \frac{\alpha}{2\pi} \frac{1+x^2}{1-x} \frac{1}{|q^2 - m_e^2|}$$

$$(709)' \quad D_{e/e}(x, Q^2) = \int_{|q^2 - m_e^2|_{\min}}^{Q^2} d|q^2| \frac{dD_{e/e}(x)}{d|q^2|}$$

$$= \frac{\alpha}{2\pi} \frac{1+x^2}{1-x} \ln \frac{Q^2}{(1-x)m_e^2}$$

∴ 41を (694) 式に足すと

$$(710) \quad D_{e/e}(x, Q^2) = \delta(1-x) + \frac{\alpha}{2\pi} \hat{P}_{e/e}(x) \ln \frac{Q^2}{m_e^2}$$

これまでの近似では「 $e^-$ 中の $e^-$ の数」は変化しない。

$$(711) \quad \int_0^1 dx D_{e/e}(x, Q^2) = 1$$

を満たすように、規格化された splitting 関数を

$$(712) \quad \int_0^1 dx P_{e/e}(x) = 0 \quad ; \quad P_{e/e}(x) = \hat{P}_{e/e}(x) = \frac{1+x^2}{1-x} \text{ at } x \neq 1$$

の様に定義する。 $\hat{P}(x)$  の  $x=1$  の  $\overset{\text{IR}}{\text{singularity}}$  は正規化 (virtual)

correction の効果を加える =  $\infty$  に対応する。



$$(7/3) \quad \left\{ \begin{array}{l} \int_0^1 dx \frac{f(x)}{(1-x)_+} \equiv \int_0^1 dx \frac{f(x) - f(1)}{1-x} \\ \frac{1}{(1-x)_+} = \frac{1}{1-x} \quad \text{at } x \neq 1 \end{array} \right.$$

" distribution  $\frac{1}{(1-x)_+}$  を定義すると .

$$(7/4) \quad P_{e/e}(x) = \frac{1+x^2}{(1-x)_+} + \frac{3}{2} \delta(1-x)$$

$$(7/4)' \quad \int_0^1 dx P_{e/e}(x) = \int_0^1 dx \frac{(1+x^2)-2}{1-x} + \frac{3}{2} = - \int_0^1 dx (1+x) + \frac{3}{2} = 0$$

となる。分布関数

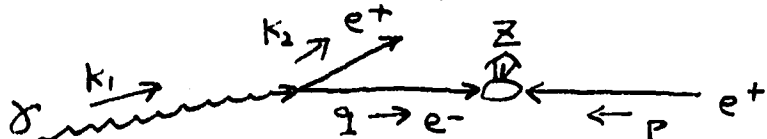
$$(7/5) \quad D_{e/e}(x, Q^2) = \delta(1-x) + \frac{\alpha}{2\pi} P_{e/e}(x) \ln \frac{Q^2}{m_e^2}$$

は規格化されてる。  
 $x=1$  を含めて

次に  $\gamma \rightarrow e^+$  の splitting 関数  $\hat{P}_{e/\gamma}(x)$  と  $\gamma$  中の  $e^-$  の分布関数

$D_{e/\gamma}(x, Q^2)$  を求めます。簡単な例では

$$(7/6) \quad d\sigma(\gamma e^+ \rightarrow e^+ Z) \approx D_{e/\gamma}(x, Q^2 = m_Z^2) dx d\hat{\sigma}(e^- e^+ \rightarrow Z; n_2^2 = s x)$$



$$(7/6)' \quad M \sim \bar{v}(p, \lambda) \not{e}_2^*(g_V^{ze} - g_A^{ze} \gamma_5) \frac{\not{k}_2 + m_e}{q^2 - m_e^2} \not{e}_\gamma(-e) v(k_1, \lambda)$$

$$\propto \bar{v}(p, \lambda = -\lambda) \not{e}_2^*(g_V^{ze} - g_A^{ze} \gamma_5) u(q, \lambda) \frac{1}{q^2 - m_e^2} \bar{u}(q, \lambda) (-e \not{e}_\gamma) v(k_2, \lambda)$$

$M(e^- e^+ \rightarrow Z)$

$M(\gamma \rightarrow e^+ e^-)$

$\gamma \rightarrow e^+e^-$  の半振幅  $-e\bar{u}(q,\lambda)\gamma^\mu u(k,\lambda) \epsilon_\mu(k_1,\lambda_1)$  は簡単に計算できる。

$$(717) \frac{d D_{e/\gamma}}{d|q^2|} = \frac{\alpha}{2\pi} [x^2 + (1-x)^2] \frac{1}{|q^2 - m_e^2|}$$

$$\begin{aligned} (717)' D_{e/\gamma}(x, Q^2) &= \int_{|q^2 - m_e^2|_{\min}}^{Q^2} d|q^2| \frac{d D_{e/\gamma}(x)}{d|q^2|} \\ &= \frac{\alpha}{2\pi} [x^2 + (1-x)^2] \ln \frac{Q^2}{(1-x)m_e^2} \end{aligned}$$

$$(717)'' \hat{P}_{e/\gamma}(x) = x^2 + (1-x)^2 = \hat{P}_{e^+/\gamma}(x) = P_{e^+/\gamma}(x)$$

最後に

$$(718) \int_0^1 dx [P_{e/\gamma}(x) + P_{\gamma/\gamma}(x)] = 0$$

かつ  $P_{\gamma/\gamma}(x) = A S(1-x)$  を規格化すると。

$$(718)' P_{\gamma/\gamma}(x) = -\frac{2}{3} S(1-x).$$

ここで  $(e^\pm \text{と } \gamma \text{ たる) QED の 分布関数の} \gamma \text{ 振幅方程式が決定:}$

$$(719) \frac{d}{d \ln Q^2} D_{\gamma/\gamma}(x, Q^2) = \frac{\alpha}{2\pi} \int_x^1 \frac{dz}{z} \left\{ P_{\gamma/e}(z) [D_{e/\gamma}(\frac{x}{z}, Q^2) + D_{e^+/\gamma}(\frac{x}{z}, Q^2)] + P_{\gamma/\gamma}(z) D_{\gamma/\gamma}(\frac{x}{z}, Q^2) \right\}$$

$$(719)' \frac{d}{d \ln Q^2} D_{e^-/\gamma}(x, Q^2) = \frac{\alpha}{2\pi} \int_x^1 \frac{dz}{z} \left\{ P_{e/e}(z) D_{e^-/\gamma}(\frac{x}{z}, Q^2) + P_{e^+/\gamma}(z) D_{\gamma/\gamma}(\frac{x}{z}, Q^2) \right\}$$

$$(719)'' \frac{d}{d \ln Q^2} D_{e^+/\gamma}(x, Q^2) = \frac{\alpha}{2\pi} \int_x^1 \frac{dz}{z} \left\{ P_{e/e}(z) D_{e^+/\gamma}(\frac{x}{z}, Q^2) + P_{e/\gamma}(z) D_{\gamma/\gamma}(\frac{x}{z}, Q^2) \right\}$$

$\therefore \tau^+$ ,  $a \neq a = e^-, e^+, \gamma$   $\tau^- \neq a = \text{hadron}$   $\tau^- \in \text{実} \dots$

QED の splitting 関数

$$(720) \quad \left\{ \begin{array}{l} P_{e/e}(z) = \frac{1+z^2}{(1-z)_+} + \frac{3}{2} \delta(1-z) \\ P_{\gamma/e}(z) = \frac{1+(1-z)^2}{z} \\ P_{e/\gamma}(z) = z^2 + (1-z)^2 \\ P_{\gamma/\gamma}(z) = -\frac{2}{3} \delta(1-z) \end{array} \right. \quad \left. \begin{array}{l} \hat{P}_{e/e}(z) = \hat{P}_{\gamma/e}(1-z) = \frac{1+z^2}{(1-z)_+} \\ \hat{P}_{e/\gamma}(z) = z^2 + (1-z)^2 \\ \hat{P}_{\gamma/\gamma}(z) = 0 \end{array} \right.$$

Leading Log  $\left(\left(\frac{\alpha}{\pi}\right)^n \ln^n(Q^2/m_e^2)\right)$  の近似は "Z"、例えば、 $D_{b/e}(x, Q^2)$  分布関数は、初期条件

$$(721) \quad \left\{ \begin{array}{l} D_{e/e}(x, Q^2=m_e^2) = \delta(1-x) \\ D_{\gamma/e}(x, m_e^2) = D_{e/\gamma}(x, m_e^2) = 0 \end{array} \right.$$

が (719) に より まことに。ただし  $x < 1$  である。又、より正確な分布関数、(69) と (710) を 初期条件として、 $Q^2$  発展を追跡する。

例) 1) (721) を出発点にし、(719) を  $\frac{\alpha}{\pi}$  の逐次展開で解いてみる。

(719) を 積分形に まとめて。

$$(722) \quad \left\{ \begin{array}{l} D_{\gamma/e}(x, Q^2) - D_{\gamma/e}(x, m_e^2) = \frac{\alpha}{2\pi} \int_{m_e^2}^{Q^2} d\ln Q'^2 \int_x^1 \frac{dz}{z} \left\{ P_{\gamma/e}(z) [D_{e/e}(\frac{x}{z}, Q'^2) + D_{e/\gamma}(\frac{x}{z}, Q'^2)] \right. \\ \left. + P_{e/\gamma}(z) D_{\gamma/e}(\frac{x}{z}, Q'^2) \right\} \\ D_{e/e}(x, Q^2) - D_{e/e}(x, m_e^2) = \frac{\alpha}{2\pi} \int_{m_e^2}^{Q^2} d\ln Q'^2 \int_x^1 \frac{dz}{z} \left\{ P_{e/e}(z) D_{e/e}(\frac{x}{z}, Q'^2) + P_{e/\gamma}(z) D_{\gamma/e}(\frac{x}{z}, Q'^2) \right\} \\ D_{e/\gamma}(x, Q^2) - D_{e/\gamma}(x, m_e^2) = \frac{\alpha}{2\pi} \int_{m_e^2}^{Q^2} d\ln Q'^2 \int_x^1 \frac{dz}{z} \left\{ P_{e/\gamma}(z) D_{e/\gamma}(\frac{x}{z}, Q'^2) + P_{\gamma/\gamma}(z) D_{\gamma/\gamma}(\frac{x}{z}, Q'^2) \right\} \end{array} \right.$$

(721) の初期条件 (第0次解) を (722) 式の右辺に代入すると、

$$(723) \left\{ \begin{array}{l} D_{\gamma/e}^{(1)}(x, Q^2) = \frac{\alpha}{2\pi} P_{\gamma/e}(x) \ln \frac{Q^2}{m_e^2} \\ D_{e/e}^{(1)}(x, Q^2) = \delta(1-x) + \frac{\alpha}{2\pi} P_{e/e}(x) \ln \frac{Q^2}{m_e^2} \\ D_{e^+/e}^{(1)}(x, Q^2) = 0 \end{array} \right.$$

が得られる。 (723) の第1次解を (722) 式の右辺に代入すると第2次解

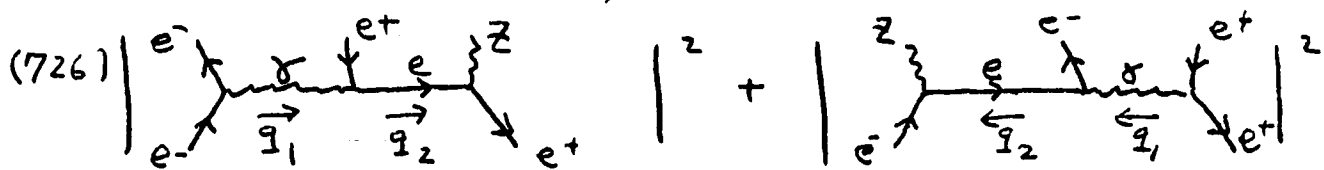
$$(724) \left\{ \begin{array}{l} D_{\gamma/e}^{(2)}(x, Q^2) = \left( \frac{\alpha}{2\pi} \ln \frac{Q^2}{m_e^2} \right) P_{\gamma/e}(x) \\ \quad + \left( \frac{\alpha}{2\pi} \ln \frac{Q^2}{m_e^2} \right)^2 \frac{1}{2} \int_x^1 \frac{dz}{z} \left[ P_{\gamma/e}(z) P_{e/e}\left(\frac{x}{z}\right) + P_{\gamma/\gamma}(z) P_{\gamma/e}\left(\frac{x}{z}\right) \right] \\ D_{e/e}^{(2)}(x, Q^2) = \delta(1-x) + \left( \frac{\alpha}{2\pi} \ln \frac{Q^2}{m_e^2} \right) P_{e/e}(x) \\ \quad + \frac{1}{2} \left( \frac{\alpha}{2\pi} \ln \frac{Q^2}{m_e^2} \right)^2 \int_x^1 \frac{dz}{z} \left[ P_{e/e}(z) P_{e/e}\left(\frac{x}{z}\right) + P_{e/\gamma}(z) P_{\gamma/e}\left(\frac{x}{z}\right) \right] \\ D_{e^+/e}^{(2)}(x, Q^2) = \frac{1}{2} \left( \frac{\alpha}{2\pi} \ln \frac{Q^2}{m_e^2} \right)^2 \int_x^1 \frac{dz}{z} \left[ P_{e^+/e}(z) P_{\gamma/e}\left(\frac{x}{z}\right) \right] \end{array} \right.$$

$\delta(1-x) + \frac{1}{(1-z)_+}$  等が  $\lambda$ ,  $\tau$ ,  $\beta$  の形で現れる。一步計算が済んでしまった。したがって  $\lambda$ ,  $\tau$ ,  $\beta$  は  $\left( \frac{\alpha}{2\pi} \ln \frac{Q^2}{m_e^2} \right)^n$  の全ての項を足すことができる。 (719) の数値解は全ての項の足しあげで  $\lambda$ ,  $\tau$ ,  $\beta$  が得られる。LL (leading Log) とは LO (leading Order) と呼ばれる。

$\gamma = 3\pi^+$  (724) の式を改め、 $D_{e^+e^-}(x, Q^2)$  は、 $e^+e^- \rightarrow e^+e^-$  反応程の面積を

$$(725) d\sigma(e^-e^+ \rightarrow e^-e^+ z) = [D_{e^+e^-}^{(2)}(x, m_Z^2) + D_{e^+e^-}^{(2)}(x, -m_Z^2)] dx d\hat{\sigma}(e^+e^- \rightarrow m_Z^2)$$

と近似で表すとき現れます。Feynman 図 12



左図の場合、 $e^+e^- \rightarrow e^-e^- + Z$  の向き、右図のときは  $e^+e^- \rightarrow e^+e^- + Z$  の向きで放出されるので、干涉は無視できます。左図の寄与は、

$$(727) [d\sigma]_{\text{左図}} = \int_{m_e^2}^{Q_2^2} \frac{dD_{\delta/e}(x_1)}{d|q_1^2|} d|q_1^2| dx_1 \int_{m_e^2}^{m_Z^2} \frac{dD(x_2)}{d|q_2^2|} d|q_2^2| dx_2 \hat{\sigma}(e^+e^- \rightarrow Z) \propto S(m_Z^2 - s x_1 x_2)$$

と評価されます。 $\therefore \pi^+$  mass-ordering

$$(728) |q_1^2| < |q_2^2|$$

が決定的に重要な役割りをはなします。(727) 式には

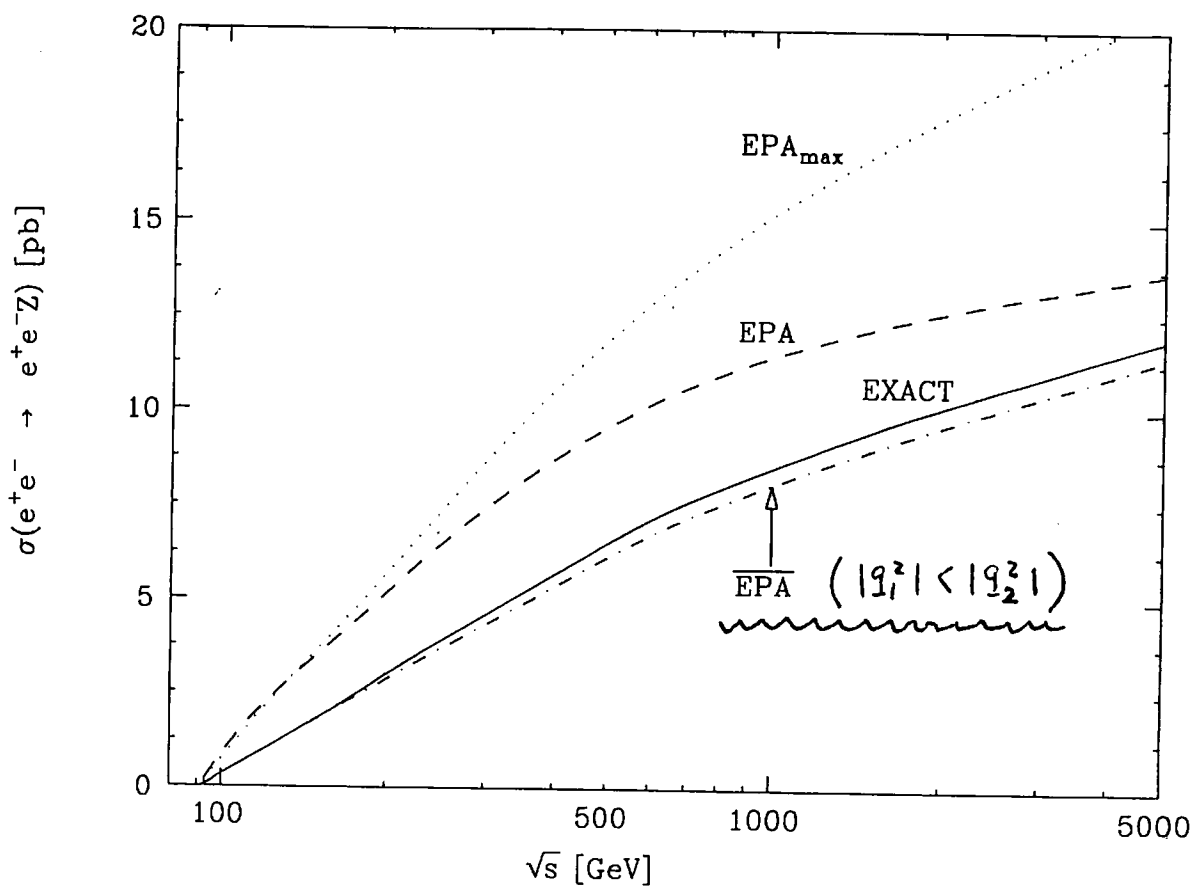
$$\begin{aligned} (729) [d\sigma]_{\text{左図}} &= \int_{m_e^2}^{m_Z^2} d|q_2^2|^2 D_{\delta/e}(x_1, |q_2^2|) \frac{dD(x_2)}{d|q_2^2|} dx_1 dx_2 d\hat{\sigma}_{e^+e^- \rightarrow Z} \\ &= \left(\frac{v}{2\pi}\right)^2 \int_{m_e^2}^{m_Z^2} \frac{d|q_2^2|}{|q_2^2|} \ln \frac{|q_2^2|}{m_e^2} P_{\delta/e}(x_1) P_{\delta/e}(x_2) dx_1 dx_2 d\hat{\sigma}_{e^+e^- \rightarrow Z} \\ &= \left(\frac{v}{2\pi}\right)^2 \frac{1}{2} \left(\ln \frac{m_Z^2}{m_e^2}\right)^2 \int dx_1 dx_2 P_{\delta/e}(x_1) P_{\delta/e}(x_2) d\hat{\sigma}_{e^+e^- \rightarrow Z} \end{aligned}$$

$\therefore \pi^+$   $\frac{1}{2}$  の項が mass-ordering (728) の帰結であることを確認しておきたい。 (724) 式の  $\frac{1}{2}$  の origin は mass-ordering にあるからです。

Mass-ordering に留意せず、不用意に「仮想実粒子の分布関数」を使つて。

$$(730) [d\sigma]_{\text{EPA}} = \int_0^1 dx_1 \int_0^1 dx_2 D_{\gamma/e}(x_1, m_Z^2) D_{e/\gamma}(x_2, m_Z^2) d\hat{\Gamma}_{e^+e^- \rightarrow Z}$$

とすると大幅な過大評価をしてしまいます。QED の exact な断面積か、mass-ordering (728) を考慮するだけで、良く近似されることを示すのが次の図です。[KH et al, NPB 365, 544 (1991); Fig. 8]



この論文では、(727)式の様に、 $|q_1^2|, |q_2^2|$  の分布を使って。

区の下分布、E 分布等が数% の精度で計算できると示されています。//

# GL-AP 方程式

QED の発展方程式を QCD にするために必要なのは  $g \rightarrow g$  分岐  
関数だけです。Helicity 幅幅が簡単にまとまります。ここでは。

(731) R.K. Ellis, W.J. Stirling, B.R. Webber, QCD & Collider Physics, Cambridge U. Press  
(1996)  
に従って、クルーオンの  $\gamma = 3$  偏極を考慮した導出を行います。

クルーオンの  $\gamma = 3$  (面) 偏極は collider 物理で重要な役割りを  
果たすのです。time-like (jet) の分岐を考えます。

(732)

$$\left\{ \begin{array}{l} P_a^2 = 2E_b E_c (1 - \cos \theta_{bc}) = E_a^2 z(1-z) \theta^2 \\ \theta = \theta_b + \theta_c = \frac{1}{E_a} \sqrt{\frac{P_a^2}{z(1-z)}} = \frac{\theta_b}{1-z} = \frac{\theta_c}{z} \end{array} \right.$$

$$\begin{aligned} E_b &= z E_a \\ E_c &= (1-z) E_a \\ z \sin \theta_b &= (1-z) \sin \theta_c \quad (z \vec{P}_T = 0) \end{aligned}$$

(733)

$$\begin{aligned} M_{n+1} &= M_n \frac{1}{P_a^2} \epsilon_a^\mu \epsilon_b^\rho \epsilon_c^\gamma g f^{abc} [(p_a + p_b)_\rho g_{\alpha\beta} + (-p_b + p_c)_\alpha g_{\beta\gamma} + (-p_c + p_a)_\beta g_{\gamma\alpha}] \\ &= M_n \frac{2 g f^{abc}}{P_a^2} [(\epsilon_b \cdot \epsilon_c^*) (\epsilon_a \cdot \epsilon_b^*) + (\epsilon_c \cdot \epsilon_a) (\epsilon_b^* \cdot \epsilon_c^*) - (\epsilon_c \cdot \epsilon_b^*) (\epsilon_a \cdot \epsilon_c^*)] \end{aligned}$$

ここで、散乱(分岐)面内と面に垂直な偏極を  $\perp$ - $\parallel$  にすると。

(734)

$(\epsilon_a^\mu)_{in} = (0, 1, 0, 0)$	$(\epsilon_a^\mu)_{out} = (0, 0, 1, 0)$
$(\epsilon_b^\mu)^*_{in} = (0, 1, 0, -\theta_b)$	$(\epsilon_b^\mu)^*_{out} = (0, 0, 1, 0)$
$(\epsilon_c^\mu)^*_{in} = (0, 1, 0, \theta_c)$	$(\epsilon_c^\mu)^*_{out} = (0, 0, 1, 0)$

2005.9.9

$$(735) \quad P_b^{\mu} = E_a z (1, \theta_b, 0, 1), \quad P_c^{\mu} = E_a (1-z) (1, -\theta_c, 0, 1)$$

(734), (735) + (1),  $\theta^2$  項を無視して

$$(736) \quad \epsilon_i^{in} \cdot \epsilon_j^{in} = \epsilon_i^{out} \cdot \epsilon_j^{out} = -1 \quad \left. \right\} \text{for all } (i, j) = (a, b), (a, c), (b, c)$$

$$\epsilon_i^{in} \cdot \epsilon_j^{out} = \epsilon_i^{out} \cdot P_j = 0$$

$$\epsilon_a^{in} \cdot P_b = -E_a z \cancel{(\theta_b + \theta_c)} = -E_a z \cancel{(1-\theta)} \theta$$

$$\epsilon_a^{in} \cdot P_c = E_a (1-z) \theta_b = E_a z (1-z) \theta$$

$$\epsilon_b^{in} \cdot P_c = E_a (1-z) (\theta_c + \theta_b) = E_a (1-z) \theta$$

振幅が全て  $\theta$  に比例するので, propagator  $1/p_a^2 = 1/E_a^2 z (1-z) \theta^2$  と合わせ, ~~1/θ~~  $1/\theta$  と振幅うのは, QED と同じ。 $1/E_a \theta$  を因子化すると,

$\epsilon_a$	$\epsilon_b$	$\epsilon_c$	amp	$(amp)^2 / z (1-z)$
in	in	in	$1-z(1-z)$	$(1-z)/z + z/(1-z) + z(1-z)$
in	out	out	$z(1-z)$	$z(1-z)$
out	in	out	$-(1-z)$	$(1-z)/z$
out	out	in	$z$	$z/(1-z)$

$\epsilon_a$  の average,  $\epsilon_b, \epsilon_c$  のスピンを考慮す。

$$(738) \quad \hat{P}_{g/g}(z) = C_A \left[ \frac{1-z}{z} + \frac{z}{1-z} + z(1-z) \right]$$

が得られる。Helicity 振幅を使ったり、少く楽に計算できたよろしく思ひます。文献 (731) の紹介をした理由は、 $\epsilon_a(p_a, s_a)$  が linear に偏極した場合の splitting で扱ってました。

ogenesis によって生成されたグルーオンは散乱(面内)に (linear に) 偏極します。

今、散乱面が、上の(735)式の分岐面と中たりすれどもよし。

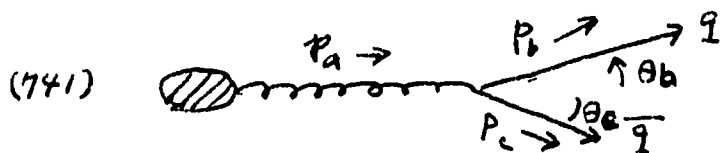
$$(739) \quad \vec{\varepsilon}_a^{\mu}(p_a, s_a) = (0, \cos\phi, \sin\phi, 0)$$

この initial state の分岐は

$$\begin{aligned} (740) \quad \hat{P}_{g/g}(z, \phi) &= \sum_{S_b, S_c} \left| \cos\phi M(\varepsilon_a^{in}, \varepsilon_b, \varepsilon_c) + \sin\phi (\varepsilon_a^{out}, \varepsilon_b, \varepsilon_c) \right|^2 \\ &= C_A \left\{ \cos^2\phi \left[ \frac{1-z}{z} + \frac{z}{1-z} + 2z(1-z) \right] + \sin^2\phi \left[ \frac{1-z}{z} + \frac{z}{1-z} \right] \right\} \\ &= C_A \left\{ \frac{1-z}{z} + \frac{z}{1-z} + z(1-z)[1 + \cos 2\phi] \right\} \end{aligned}$$

$\phi$ について平均すれば(738)にどうりますか。僅かに ( $z = \frac{1}{2}$  のとき  
 $\frac{1}{9} \approx 10\%$  程度) 散乱面の中に分岐(やすべり)があります。  
 僅かなのですが、この相関は  $g \rightarrow g\bar{g}$  分岐の場合と逆なので  
 重複です。

この相間に気をつけながら  $g \rightarrow g\bar{g}$  分岐を計算します。



$$\begin{aligned} (742) \quad M_{nri} &= M_n \frac{1}{p_a^2} \varepsilon_a^{\mu} g T^a \bar{u}(p_b, \lambda) \delta_{\mu} v(p_c, -\lambda) \\ &= M_n \frac{1}{p_a^2} g T^a \varepsilon_a \cdot J_{\lambda} \end{aligned}$$

$$\begin{aligned}
 (743) \quad J_+^\mu &= u(p_b, +)_+^\dagger \sigma_+^\mu v(p_c, -)_+ \\
 &= \sqrt{2E_b} \chi_+(\vec{p}_b)_+^\dagger \sigma_+^\mu (-\sqrt{2E_c}) \chi_+(\vec{p}_c) \\
 &= -2\sqrt{E_b E_c} (\cos\frac{\theta_b}{2}, \sin\frac{\theta_b}{2})_+^\dagger \sigma_+^\mu \begin{pmatrix} \cos(\frac{-\theta_c}{2}) \\ \sin(\frac{-\theta_c}{2}) \end{pmatrix} \\
 &= -2\sqrt{E_b E_c} (1, \frac{\theta_b}{2})_+^\dagger [1, (1, 0), (0, -1), (0, 0)] \begin{pmatrix} 1 \\ -\frac{\theta_c}{2} \end{pmatrix} \\
 &= -2E_a \sqrt{z(1-z)} [1, -\frac{\theta_c}{2} + \frac{\theta_b}{2}, i\frac{\theta_c}{2} + i\frac{\theta_b}{2}, 1] \\
 &= -2E_a \sqrt{z(1-z)} [1, \frac{1-2z}{2}\theta, i\frac{\theta}{2}, 1]
 \end{aligned}$$

Linear 偏極  $\rightarrow \epsilon_a^\mu$  (739) 式との contraction は

$$\begin{cases} \epsilon_a^\phi \cdot J_+ = 2E_a \sqrt{z(1-z)} \left\{ \frac{\theta}{2} [(1-2z)\cos\phi + i\sin\phi] \right\} \\ |\epsilon_a^\phi \cdot J_+|^2 = E_a^2 z(1-z) \theta^2 [(1-2z)^2 \cos^2\phi + \sin^2\phi] \end{cases}$$

$|\epsilon_a^\phi \cdot J_-|^2$  も全く同様 (Parity) なので、カーブ因子を考慮して

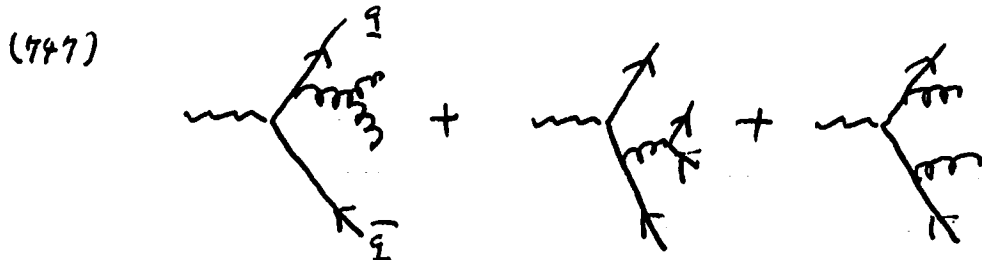
$$\begin{aligned}
 (745) \quad \hat{P}_{g/g}(z, \epsilon_g^\phi) &= T_A [(1-2z)^2 \cos^2\phi + \sin^2\phi] \\
 &= T_A [z^2 + (1-z)^2 - 2z(1-z)\cos 2\phi]
 \end{aligned}$$

つまり、 $g \rightarrow g$  分岐は、散乱面 ( $g$  の linear 偏極の面) と直角に走ります。 [ $z=\frac{1}{2}$  で 100% ?] もあります。

1988年、Berjaton-Zerwas [PLB 208, 306 (1988)] はこの相關を利用した  $ggg$  総合のテストを提案しました。

$$(746) \quad \left\{ \begin{array}{l} e^+ e^- \rightarrow 4j \quad E_1 > E_2 > E_3 > E_4 \\ \cos \chi_{BZ} = \frac{(\vec{P}_1 \times \vec{P}_2) \cdot (\vec{P}_3 \times \vec{P}_4)}{|\vec{P}_1| |\vec{P}_2| |\vec{P}_3| |\vec{P}_4|} \end{array} \right.$$

$E_1 > E_2 > E_3 > E_4$  たり、  $P_1$  と  $P_2$  が  $q$  と  $\bar{q}$ 、  $P_3$  と  $P_4$  が  $gg$  か  $g\bar{g}$



の分岐である確率が高くなります。  $\vec{P}_1 \times \vec{P}_2$  は  $q\bar{q}J^*$  の散乱平面、  
従って  $J^*$  の偏極面を定め、  $\vec{P}_3 \times \vec{P}_4$  が 分岐面を定めます。もし。

$ggg$  組合せ無ければ (Abelian グルーオン模型) (745) になります。

$\chi_{BZ} \sim \phi \sim 90^\circ$  に強い相關があるはずで、 QCD では  $C_A \gg T_F$   
なので、この相關が

うまるはずです。

左図は L3 による

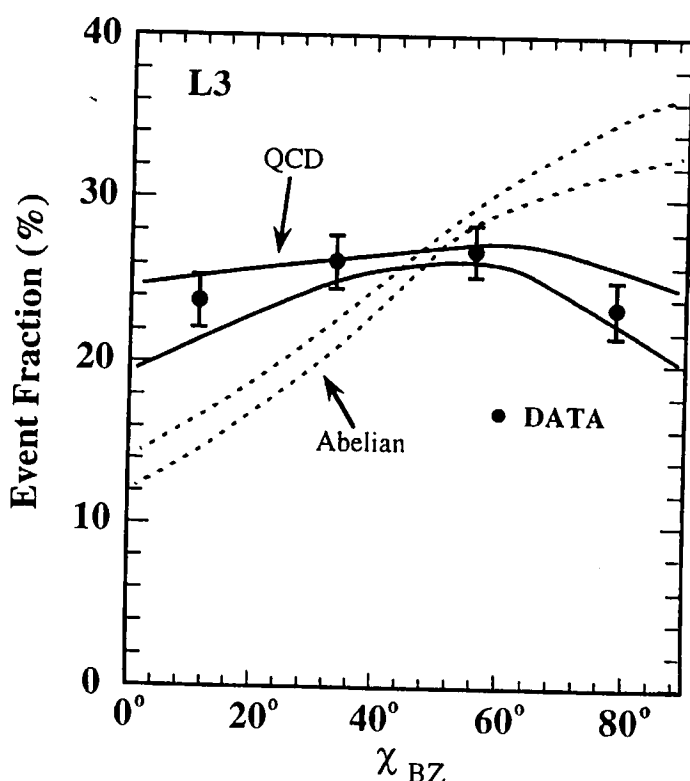
検証です。

[L3, PLB248, 227(1990)]

TRISTAN での 4-jet

rate が増えると = 3.216.

であります。



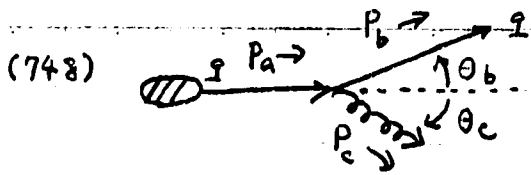
2005. 9. 10

余談： (740) で  $g \rightarrow gg$  分岐は  $g$  の linear pol. の面（一般に  $g$  生成事象の散乱面）内に 10% 程度出やすくなるか分かってない。これは事实上、軸対称といふと思ふ。先一回の 6-jet background の平面性は、従って  $g \rightarrow gg$  分岐で 11 説明ですか。t-channel 過程、例えば 4-jet to 3,  $u \rightarrow \bar{u} g g$  等の相關を調べる必要がります。 $h \rightarrow h g$   $\bar{u} \rightarrow \bar{u} g$

分岐のとき、 $g$  は散乱(分岐)面内に強く偏極する（次に導きます）ので、以前の  $gg \rightarrow gg$  散乱振幅が入射  $g$  の linear 偏極によってどう変化するかを調べるのが良いかと思ひます。ハーリティ-振幅ではなく、linear pol. 振幅  $\frac{\text{たゞ}}{\text{も}}$  後に立つことを学びました。（ケルビンと光子だけでなければ。） 11.5 “れにしても、 $t\bar{t}$  background の jet の平面性が現在の shower MC (特に Herwig) で再現されるのかどうか、などなかなか至急 check して report して下さい。

このあたりが key point になるよな気がします。

$q \rightarrow q g$  分岐は  $e \rightarrow e \gamma$  分岐と同じだし、すぐ前に記した  $g \rightarrow gg$  分岐の crossing がたまりで、initial state の  $g$  の linear pol. を final state の  $g$  の linear pol. に  $\times 3$  cross (analytic continuation) すれば良いか分かるので（ハーリティ-振幅の crossing でさえ non-trivial なのに、今度は相対位相まで考慮しなければなりません）、あくまで計算します。（太陽の望遠鏡、て本当に便利です。考え方でも分からぬまま計算すれば“良い”のが3。）



$$(749) M_{n+1} = M_n \frac{1}{P_a^2} \bar{u}(P_b, \lambda) \gamma^\mu u(P_a, \lambda) g T^a \epsilon_\mu^*(P_c, s_c)$$

$$= M_n \frac{1}{P_a^2} g T^a J_\lambda \cdot \epsilon^*$$

$$(750) J_+^\mu = u(P_b, +)^+ \sigma_+^\mu u(P_a, +)^+$$

$$= \sqrt{2E_b} \chi_+(\vec{P}_b)^+ \sigma_+^\mu \sqrt{2E_a} \chi_+(\vec{P}_a)$$

$$= 2\sqrt{E_a E_b} (\cos \frac{\theta_b}{2}, \sin \frac{\theta_b}{2})^+ [1, (1), (0), (0)] (1)$$

$$= 2E_a \sqrt{z} (1, \frac{\theta_b}{2})^+ [(1), (0), (0), (0)]$$

$$= 2E_a \sqrt{z} [1, \frac{\theta_b}{2}, \frac{\theta_b}{2}i, 1]$$

$$(751) \epsilon^*(P_c, \phi) = \cos \phi \epsilon^*(P_c)_{in} + \sin \phi \epsilon^*(P_c)_{out}$$

$$= \cos \phi (0, 1, 0, \theta_c) + \sin \phi (0, 0, 1, 0) \quad : (734)$$

$$= (0, \cos \phi, \sin \phi, \theta_c \cos \phi)$$

$$(752) J_+ \cdot \epsilon_\phi^* = 2E_a \sqrt{z} [0 - \frac{\theta_b}{2} \cos \phi - \frac{\theta_b}{2} i \sin \phi - \theta_c \cos \phi]$$

$$= -E_a \sqrt{z} [( \theta_b + 2\theta_c) \cos \phi + i A_b \sin \phi]$$

$$= -E_a \sqrt{z} \theta [(1+z) \cos \phi + i (1-z) \sin \phi]$$

$$(753) |J_+ \cdot \epsilon_\phi^*|^2 = E_a^2 z \theta^2 [(1+z)^2 \cos^2 \phi + (1-z)^2 \sin^2 \phi] = E_a^2 z \theta^2 [1+z^2 + 2z \cos 2\phi]$$

$$(754) \hat{P}_{g/I}(z, \epsilon_g^\phi) = C_F \frac{1+z^2 + 2z \cos 2\phi}{1-z}$$

生成された hard ( $z > \frac{1}{2}$ ) グルオーネは強く (~100%) 分岐面内に偏極する。//

ここまで、全ての bare 't' (tree-level の IR singularities の) 正則化されておらず。

且つ、loop からの効果による IR の相殺がされていない今岐関数  $\hat{P}_{b/a}(z)$  [ $a \rightarrow b$  の分岐を表す] がそろそろなので、まず GL-AP 方程式を書き下し。次に、IR の相殺を体現する full の分岐関数  $P_{b/a}(z)$  と  $\hat{P}_{b/a}(z)$  との関係を定めます。まず GL-AP 方程式ですが、分布関数として次のものを用います。

$$(755) \quad \begin{cases} q(x, Q^2) = D_{q/p}(x, Q^2), & \bar{q}(x, Q^2) = D_{\bar{q}/p}(x, Q^2) \\ u(x, Q^2) = D_{u/p}(x, Q^2) = D_{\bar{u}/\bar{p}}(x, Q^2) = D_{d/n}(x, Q^2) \\ g(x, Q^2) = D_{g/p}(x, Q^2) = D_{g/\bar{p}}(x, Q^2) = D_{g/n}(x, Q^2) \end{cases}$$

GL-AP 方程式は

$$(756) \quad \frac{d}{d \ln Q^2} q(x, Q^2) = \frac{\alpha_s}{2\pi} \int_x^1 \frac{dz}{z} \left[ P_{q/g}(z) q\left(\frac{x}{z}, Q^2\right) + P_{g/q}(z) g\left(\frac{x}{z}, Q^2\right) \right]$$

$$(756)' \quad \frac{d}{d \ln Q^2} \bar{q}(x, Q^2) = \frac{\alpha_s}{2\pi} \int_x^1 \frac{dz}{z} \left[ P_{\bar{q}/g}(z) \bar{q}\left(\frac{x}{z}, Q^2\right) + P_{g/\bar{q}}(z) g\left(\frac{x}{z}, Q^2\right) \right]$$

$$(756)'' \quad \frac{d}{d \ln Q^2} g(x, Q^2) = \frac{\alpha_s}{2\pi} \int_x^1 \frac{dz}{z} \left[ P_{g/d}(z) u\left(\frac{x}{z}, Q^2\right) + P_{d/g}(z) \bar{u}\left(\frac{x}{z}, Q^2\right) + P_{g/u}(z) d\left(\frac{x}{z}, Q^2\right) + P_{u/g}(z) \bar{d}\left(\frac{x}{z}, Q^2\right) \right]$$

となります。ここで

$$(757) \quad q = u, d, s, c, b, \bar{q} = \bar{u}, \bar{d}, \bar{s}, \bar{c}, \bar{b}$$

ですか。(755) で述べた C 不変性、I 不変性以外は、 $c \approx \bar{c}$ ,  $b \approx \bar{b}$  の PQCD で

予想される程度で、他は実験で定めることになります。特に

(758)  $s \neq \bar{s}$

は予想される二つの中で  $[P \rightarrow K^+ \rightarrow \bar{s} \text{ or } P \rightarrow K^- \rightarrow s +]$  large  $X$  で大きなことは  
細ほとくと競争よりも多いことに思われるのですが、多くの PDF は  $s = \bar{s}$  を仮定して  
しまっているようです。  $\nu$  TeV anomaly もそのあたりの理論 anomaly たると思われます。  
 $s \neq \bar{s}$  を前提にした charm production 等の解析が必要になります。]

一般論としては、私は  $b$  と  $\bar{b}$  を除き (つまり、 $b \rightarrow g$  を出発点) と  $\bar{b}$   
shower の効果を無視する), これらを全て取り扱うのが LHC では良い  
(Tevatronでも多分) 近似た 33 と思います。 [ $b\bar{b}$  分岐は最後に  $\sim 43$   
を 4 方向か近似の良い 33 という意味です。] そして、(756) は  $4 \times 2 + 1 = 9$   
で  $9 \times 9$  の行列の形の evolution equation です。

$$(759) \quad \begin{pmatrix} u \\ d \\ s \\ c \\ \bar{u} \\ \bar{d} \\ \bar{s} \\ \bar{c} \\ g \end{pmatrix} = \frac{ds}{2\pi} \int \frac{dz}{z} \begin{pmatrix} P_{gg} & 0 & 0 & 0 & 0 & 0 & 0 & 0 & P_{g\bar{g}} \\ 0 & P_{gg} & 0 & 0 & 0 & 0 & 0 & 0 & P_{g\bar{g}} \\ 0 & 0 & P_{gg} & 0 & 0 & 0 & 0 & 0 & P_{g\bar{g}} \\ 0 & 0 & 0 & P_{gg} & 0 & 0 & 0 & 0 & P_{g\bar{g}} \\ 0 & 0 & 0 & 0 & P_{gg} & 0 & 0 & 0 & P_{g\bar{g}} \\ 0 & 0 & 0 & 0 & 0 & P_{gg} & 0 & 0 & P_{g\bar{g}} \\ 0 & 0 & 0 & 0 & 0 & 0 & P_{gg} & 0 & P_{g\bar{g}} \\ 0 & 0 & 0 & 0 & 0 & 0 & 0 & P_{gg} & P_{g\bar{g}} \\ P_{gg} & P_{g\bar{g}} \end{pmatrix} \begin{pmatrix} u \\ d \\ s \\ c \\ \bar{u} \\ \bar{d} \\ \bar{s} \\ \bar{c} \\ g \end{pmatrix}$$

Show MC の基礎が GLAP 方程式なので、この構造をしっかりと理解しておいて  
ください。MC では、 $m_c \neq 0$  による重複射の抑制を取り扱うことも可能です。

歴史的には GL-AP (756), (759) はまだ DIS 分布関数 (PDF) の解析に使われたので、PDFについて少し説明します。[以後の言葉で]

~~GL-AP~~ 1 もは  $\delta^3$  QCD shower-MC の基礎として使われて、気をつけてください。]

GL-AP を PDF に用いるときには次の二点が役に立ちます。

$$(760) \quad \begin{cases} q_v(x, Q^2) \equiv g(x, Q^2) - \bar{g}(x, Q^2) & ; q = u, d, s, c \\ q_g(x, Q^2) \equiv \sum_{q=u, d, s, c} [g(x, Q^2) + \bar{g}(x, Q^2)] \end{cases}$$

の二種類の ( $q_v$  が 4,  $q_g$  が 1) PDF を考えると、GL-AP が簡単化します。

$$(761) \quad \frac{d}{d \ln Q^2} q_v(x, Q^2) = \frac{ds}{2\pi} \int_x^1 \frac{dz}{z} P_{g/g}(z) q_v(x, Q^2) \quad ; q = u, d, s, c$$

これは 1713' 2' 3'。

$$(762) \quad \frac{d}{d \ln Q^2} \begin{pmatrix} q_s(x, Q^2) \\ g(x, Q^2) \end{pmatrix} = \frac{ds}{2\pi} \int_x^1 \frac{dz}{z} \begin{pmatrix} P_{g/g}(z) & P_{g/g}(z) \\ P_{g/g}(z) & P_{g/g}(z) \end{pmatrix} \begin{pmatrix} q_s(\frac{x}{z}, Q^2) \\ g(\frac{x}{z}, Q^2) \end{pmatrix}$$

これは 21723' 2' 3'。これが sum rule が証明できます (後で 173)。

$$(763) \quad \int_0^1 dx q_v(x, Q^2) = n_{q_v} \quad (= 2 \text{ for } u_v, = 1 \text{ for } d_v, = 0 \text{ for } s_v, c_v)$$

$$(764) \quad \int_0^1 dx \times [q_g(x, Q^2) + g(x, Q^2)] = 1 \quad (\text{Energy Sum Rule})$$

上記二つの sum rule は PDF の normalization を規定する大変重要な sum rule です。(763) で  $n_{s_v} = n_{c_v} = 0$  ですが、これは  $s_v(x, Q^2) = 0$  とすれば全く異る

ことを忘れないでください。 $c_v(x, Q^2) \propto ds(m_c)^3 \approx 0$  は OK と想像します。

Sum ruleを導出する前にまず、virtual loop補正の入った分岐関数を求めるにはなりません。QEDのときと同様、分岐による波動関数の変化を再規格化することで、(loop計算をせずに)求めることができます。[より物理的に、tree分岐のIR発散を正則化した上で再規格化する方法を、次回に説明し、shower MCを導きます。今日の  $\frac{1}{(1-z)_+}$  や  $\delta(1-z)$  の解析的計算には向っていません、MCには向ません。]

$$(765) \quad P_{g/g}(z) = C_F \left[ \frac{1+z^2}{(1-z)_+} + \frac{3}{2} \delta(1-z) \right]$$

はQEDと全く同じです。ただし、 $P_{g/g}(z) \in \hat{P}_{g/g}(z)$  (738)から求めます。

$$(766) \quad P_{g/g}(z) = C_A \left[ \frac{z}{(1-z)_+} + \frac{1-z}{z} + z(1-z) \right] + A \delta(1-z)$$

とおして  $A$  を求めるます。各数の保存 (gの波動関数の再規格化) 条件は

$$(767) \quad \int_0^1 dz [P_{g/g}(z) + n_F P_{g/g}(z)] = 0$$

$$(768) \quad \int_0^1 dz P_{g/g}(z) = \int_0^1 dz \hat{P}_{g/g}(z) = \int_0^1 dz T_H [z^2 + (1-z)^2] = \frac{2}{3} T_H$$

$$\begin{aligned} (769) \quad \int_0^1 dz P_{g/g}(z) &= C_A \int_0^1 dz \left[ \frac{z}{(1-z)_+} + \frac{1-z}{z} + z(1-z) \right] + A \\ &= 2C_A \int_0^1 dz \frac{z}{(1-z)_+} + C_A \int_0^1 dz (z - z^2) + A \\ &= 2C_A \int_0^1 dz \frac{\frac{z}{1-z}}{1-z} + C_A \left( \frac{1}{2} - \frac{1}{3} \right) + A \\ &= C_A \left( -2 + \frac{1}{6} \right) + A = -\frac{11}{6} C_A + A \end{aligned}$$

(768) & (769) を (767) に代入し

$$(770) \quad -\frac{11}{6} C_A + A + \frac{2}{3} T_H n_F = 0 \Rightarrow A = \frac{11 C_A - 4 n_F T_H}{6} = 2 b_0 \quad ; (103) \text{参考}$$